

Distributed Computation of Disparity Maps on multiple GPUs using TCP sockets

Eric Buschermöhle, Sven Frank, Timo Janssen
Technische Universität Braunschweig
38106 Braunschweig, Deutschland
e.buschermoehle@tu-bs.de
sven.frank90@gmail.com

Abstract

The ABSTRACT is to be in fully-justified italicized text, at the top of the left-hand column, below the author and affiliation information. Use the word "Abstract" as the title, in 12-point Times, boldface type, centered relative to the column, initially capitalized. The abstract is to be in 10-point, single-spaced type. The abstract may be up to 3 inches (7.62 cm) long. Leave two blank lines after the Abstract, then begin the main text.

1. Einführung

Zum Auffinden von korrespondierenden Punkten in einem Stereobildpaar werden verschiedene Stereoanalyseverfahren eingesetzt. Mit Hilfe der gefundenen Korrespondenzen und den intrinsischen sowie extrinsischen Parameter des Stereokamerasystems ist es möglich mit Triangulation eine Szene 3D rekonstruieren. Stereoanalyseverfahren finden Einsatz im industriellen Umfeld z.B. im Bereich der Qualitätssicherung. Aber auch Anwendungsfelder in der Robotik und Automobilindustrie z.B. zur Hinderniserkennung sind potentielle Anwendungsbereiche. Neben einer möglichst dichten und genauen Tiefenkarte spielen Laufzeitaspekte eine entscheidende Rolle. In dieser Arbeit wird das Laufzeitverhalten anhand einer Korrelationsmethode exemplarisch untersucht. Es werden insgesamt zwei Möglichkeiten zur Beschleunigung des Verfahrens vorgestellt. In einem ersten Schritt erfolgt die Parallelisierung auf der GPU (Graphics Processing Unit) mit der von Nvidia entwickelten Programmier-Technik CUDA. In einem zweiten Schritt erfolgt die Verteilung der Anwendung auf über TCP verbundene Clients. Zu diesem Zweck werden TCP-Sockets eingesetzt.

1.1. Korrelationsmethode

Der Algorithmus benötigt ein Referenzbild sowie ein Suchbild, welche beide entzerrt und rektifiziert sein müssen. Die Vorgehensweise zur Bestimmung der Disparität ist dabei wie folgt: Ausgehend von einem Bildpunkt (u_1, v_1) im Referenzbild wird ein Referenzfenster der Größe *MaskWidth* und *MaskHeight* um den Aufpunkt gewählt und mit entsprechenden verschobenen Suchfenstern aus dem Suchbild entlang einer korrespondierenden Zeile (Epipolarlinie) verglichen. Dies entspricht also der Bestimmung der Ähnlichkeit zweier gleichgroßer Fenster. Unter Verwendung einer Kostenfunktion kann die Bildposition (u_2, v_2) ermittelt werden, die für das gewählte Referenzfenster im Referenzbild das ähnlichste Suchfenster im Suchbild darstellt d.h. die niedrigsten Kosten besitzt. Die Differenz der Punkte (u_1, v_1) und (u_2, v_2) wird Disparität $d(u_1, v_1)$ genannt und wird zur Bestimmung der Tiefe einer Szene benötigt. Weiterführende Literatur ist in: [7] und [6] zu finden. Wurden für alle Bildpunkte in einem Bild die Disparitäten gefunden, werden diese zu einer sogenannten Disparitätskarte oder auch Tiefenkarte zusammengefügt. In Abbildung 1 ist ein Referenzfenster und ein um die Disparität $d(u, v)$ verschobenes Suchfenster dargestellt.

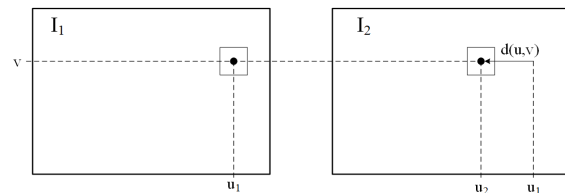


Abbildung 1. Darstellung der Fenster in beiden Bildern zur Bestimmung der Ähnlichkeit

1.2. Kostenfunktion

Als Kostenfunktion wird in dieser Arbeit der Mittlere absoluter Fehler (engl. sum of absolute differences (SAD)) eingesetzt. Mit diesem wird die absolute Differenz zwischen zwei Fenstern berechnet. Die Ähnlichkeit ist dort am größten, wo die Differenz minimal wird

$$C(u, v, d) = \frac{1}{N} \sum_m \sum_n |g_1(u + m, v + n) - g_2(u + d(u, v) + m, v + n)| \quad (1)$$

2. Related Work

Die Berechnung von Tiefenkarten auf der GPU ist nicht neu. In der Arbeit von [4] wird eine Methode vorgestellt, die Korrelationsmethoden basierend auf der Kostenfunktion SAD mit Hilfe der GPU berechnet. In [8] erfolgt die Berechnung der Tiefenkarte mit der Kostenfunktion SSD. Die Bildvorverarbeitung und Nachbereitung erfolgt dabei ebenfalls auf der GPU. Als Ergebnis konnte eine Beschleunigung der Verarbeitungsgeschwindigkeit auf 20fps erreicht werden.

Aktuellere Arbeiten beschäftigen sich mit der Beschleunigung des von Hirschmüllers vorgestellten Semi-Global Matching (SGM) [2] zum Erzeugen von Tiefenkarten. Ein Beispiel dafür ist die Arbeit [1] und [5], in welchen die Berechnung von Tiefenkarten mit dem SGM und CUDA implementiert wurden.

KONNTE LEIDER KEINE LITERATUR ZU VERTEILTEN STEREOALGORITHMEN FINDEN! VIELLEICHT HABT IHR MEHR GLÜCK! Die Verteilung von Stereoalgorithmen wird vor allem in der

3. Konzept

Graphics Processing Unit

Der Grafikprozessor ist eine auf Berechnung von Grafiken spezialisierter und optimierter Prozessor in einem Computer oder einem anderen Gerät mit visueller Ausgabe. Der Cache-Speicher der GPU (Graphic Processing Unit) ist im Gegensatz der CPU erheblich kleiner dimensioniert. Zudem existiert kein Raum für komplexe Logik. Grundsätzlich ist die Recheneinheit der Grafikkarte so aufgebaut, dass möglichst viele eher einfache Rechenoperationen parallel möglich sind. Diese Algorithmic Logic Units (ALU) sind wie in Abbildung 4 dargestellt in wesentlich höherer Anzahl auf der GPU vorhanden. Sie lassen sich wiederum jeweils in eine bestimmte Anzahl an Blöcke unterteilen, wobei jeder Block selbst mehrere Threads aufrufen kann. Durch

Idee



Abbildung 2. Aufbau von CPU und GPU im Vergleich [3]

In dieser Arbeit geht es zunächst darum die Berechnung der Tiefenkarte von der CPU auf die GPU auszulagern. Dazu wird eine entsprechende Programmier- und Hardware-Technik verwendet, um die notwendigen Daten auf den Grafikspeicher zu transferieren. In einem zweiten Schritt erfolgt die Optimierung der Berechnung durch massive Parallelisierung zur Laufzeitreduzierung auf der GPU.

Als weitere Möglichkeit zur Reduzierung der Laufzeit, wird eine Client-Server Anwendung entwickelt. Durch diesen Sachverhalt ist die Aufteilung der Anwendung auf verschiedene Clients im Netzwerk möglich. Ziel ist es, die Berechnungen auf dem jeweiligen Client ebenfalls auf der GPU zu parallelisieren. Das Gesamtkonzept kann wie folgt zusammengefasst werden: In einem ersten Schritt erfolgt die Segmentierung des Bildes entlang einer Bildzeile. Die Segmente werden anschließend über das Netzwerk an die Clients verteilt. Im Anschluss führt jeder Client auf seiner GPU eine Berechnung der Tiefenkarte für seine Segmente durch. Abschließend sollen die berechneten Tiefenkarten an den Server gesendet werden, welcher diese zu einer gesamten Tiefenkarte zusammenfügt.

4. Implementierung

4.1. Optimierung von CPU auf GPU

CUDA

CUDA (Compute Unified Device Architecture) ist eine vom Grafikkarten-Hersteller Nvidia entwickelte Programmier- und Hardware-Technik, welche die Durchführung von einfachen Berechnungen auf der GPU erlaubt. Im Folgenden soll der Aufbau kurz erläutert werden.

Im Zusammenhang mit CUDA stellt der Begriff Kernel eine zentrale Rolle dar. Ein Kernel wird von einer Vielzahl hierarchisch angeordneter Threads auf der GPU ausgeführt. Jeder dieser Threads besitzt seinen eigenen privaten Speicherbereich (per-Thread Private Local Memory). Im Fall von CUDA C handelt es sich um eine in C geschriebene Funktion. Die einzelnen Threads werden in mehrdimensionalen Threadblöcken organisiert und erhalten eindeutige IDs. Alle Threads innerhalb eines Blocks teilen sich einen

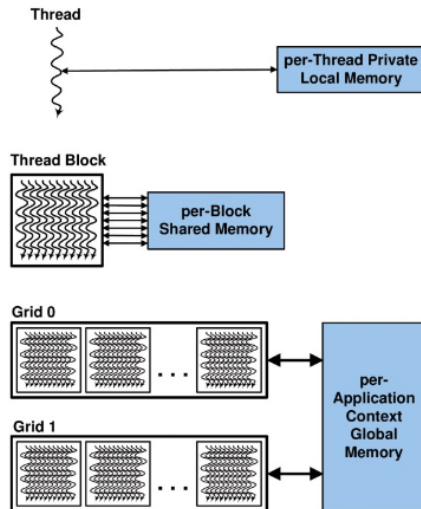


Abbildung 3. Thread-Hierarchie und Speicherverwaltung von CUDA [3]

gemeinsamen Speicher (Per-Block Shared Memory) auf welchen der Zugriff synchronisiert erfolgen muss. Die verschiedenen Blöcke werden wiederum in sogenannte Grids organisiert, die ebenfalls eine eindeutige ID erhalten. Jedes Grid stellt dabei ein eigenständiges Kernel dar. Abbildung ?? veranschaulicht diesen Aufbau. (Vgl. [3])

Praktisch ergibt sich dann folgender Aufbau: der Entwickler schreibt einen Kernel, welcher die Programmlogik enthält die auf der GPU ausgeführt werden soll. Darüber hinaus muss der Host-Code geschrieben werden, welcher das eigentliche Programm in der jeweiligen Programmiersprache enthält. Dieser führt den Transfer von benötigten Daten auf den Grafikspeicher aus und ruft anschließend den Kernel auf. Nach Durchführung des Kernels müssen die berechneten Daten wieder von der GPU auf die CPU kopiert werden um dort eine Weiterverarbeitung realisieren zu können.

Eine Parallelisierung ist hierbei durch den Entwickler möglich. Dieser kann durch von CUDA bereitgestellte Funktionen steuern, auf wie viele Blöcke und Threads der entsprechende Kernel aufgeteilt werden soll.

4.2. Entwicklung und Parallelisierung des Kernels

TODO: Beschreibung des Kernels und die Parallelisierung

4.3. Parallelisierung über TCP/IP

Netzwerkcommunication

Bei Sockets handelt es sich um ein vom Betriebssystem bereitgestelltes Objekt, welche als Kommunikationsendpunkte betrachtet werden können. Durch diese Sockets können Daten empfangen und versendet werden, wobei verschiedene Techniken zur Übermittlung auf der Transportschicht verwendet werden können. Ein bekanntes und im Zuge dieser Arbeit verwendetes Modell nutzt TCP/IP zur Kommunikation. Dabei sorgt das Transmission Control Protocol für eine zuverlässige Übertragung der Daten auf Basis vom Internet Protocol (IP). Die Übermittlung der Pakete ist dabei garantiert. Sollte ein Fehler auftreten, so erhält der Sender eine Fehlermeldung und kann die Daten erneut senden. Grundsätzlich entspricht die Reihenfolge der eingehenden Pakete der Sendereihenfolge. Die Verbindung zwischen zwei Kommunikationspartnern wird bei diesem Mechanismus durch die IP-Adressen und eine gemeinsame Portnummer hergestellt.

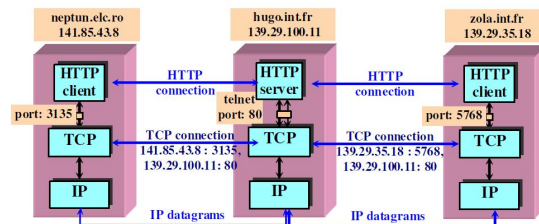


Abbildung 4. Kommunikationschema von TCP/IP

Client-Server Anwendung

TODO: Beschreibung der Implementierung

5. Evaluation

Ziel dieser Arbeit war es die Reduzierung der Berechnungsgeschwindigkeit zu messen, wenn die Berechnung via Transmission Control Protocol (TCP)/Internet Protocol (IP) auf mehrere Grafikprozessoren auf verschiedenen Rechnern aufgeteilt wird. Die Ausgangssoftware beinhaltete bereits die Berechnung der Tiefenkarte auf der CPU, welche nicht wirklich für diese Aufgabe optimiert ist. Im ersten Schritt wurde die Anwendung also dahingehend erweitert, dass mittels der Programmier-Technik CUDA die Berechnung auf der Grafikkarte (GPU) ausgeführt werden konnte. Der zweite Schritt beinhaltete die Entwicklung einer simplen Client-Server-Anwendung. Dabei sollte der serverseitige Part die Berechnung auf der GPU anstoßen. Die notwendigen Vorbereitungen auf der Clientseite, waren zum größten Teil schon in der bereitgestellten Software vorhanden. So musste sich weder um die gesamte Integration, die Aufteilung des Bildes für die entsprechende Serveranzahl, noch das spätere Zusammenfügen der Ergebnisbilder

Testfall	Berechnungszeit in ms
Host CPU	4584.93
Host GPU	620.89
1x GPUs via TCP	620.89
2x GPUs via TCP	357.54
3x GPUs via TCP	265.82
4x GPUs via TCP	223.48
5x GPUs via TCP	188.43
6x GPUs via TCP	170.20
7x GPUs via TCP	165.99
8x GPUs via TCP	164.08

Tabelle 1. Messwerte des Versuchs

gekümmert werden. Lediglich der Kommunikationskanal musste aufgesetzt werden und die Bereitstellung der notwendigen Informationen für die Berechnung implementiert werden.

Im Zuge der Durchführung des Versuches wurde versucht die Berechnungszeit der Tiefenkarte immer weiter zu reduzieren. Begonnen wurde mit der CPU, gefolgt von der GPU auf dem Host-Rechner. Anschließend wurde die Berechnung über das Netzwerk auf eine steigende Anzahl von Rechnern verteilt.

Für den Versuch wurden immer die gleichen Parameter zur Berechnung verwendet, damit die Ergebnisse vergleichbar sind. Als Versuchsbild diente ein Bild von einem Elefanten mit einer Auflösung von 681x681 Pixel. Dabei wurde das linke und das rechte Bild bereitgestellt. Die Parameter wurden anschließend wie folgt festgelegt:

Fenstergröße: 7x7 Pixel Taumax: 40

Die Durchführung des Versuches ergab die in Tabelle 1 dargestellten Ergebnisse.

Die Tabelle 1 zeigt deutlich, dass die GPU wesentlich besser geeignet ist, um Grafikoperationen zu erledigen. Die Zeit für die Berechnung der Tiefenkarte konnte auf der GPU im Vergleich zu CPU um etwas 85% des Ausgangswertes reduziert werden. Teilt man diese Berechnung nun auf mehrere GPUs über das Netzwerk auf, so stellt man fest, dass bis zu einer Verwendung von 6 GPUs die Rechenzeit noch erheblich sinkt. In fügt man nun weitere GPUs hinzu, so konvergiert die Rechenzeit irgendwann gegen einen bestimmten Wert. Bereits bei einer Erhöhung von 7 auf 8 GPUs erkennt man schon kaum eine wirkliche Reduzierung.

6. Zusammenfassung

7. Ausblick

7.1. Beispiel Footnotes

Please use footnotes sparingly¹ and place them at the bottom of the column on the page on which they are referenced. Use Times 8-point type, single-spaced.

Literatur

- [1] I. Ernst und H. Hirschmüller. Mutual information based semi-global stereo matching on the gpu. In *International Symposium on Visual Computing (ISVC08)*, December 2008.
- [2] H. Hirschmüller. *Accurate and Efficient Processing by Semi-Global Matching and Mutual Information*. Wessling, 2005.
- [3] NVIDIA Corporation. *CUDA C PROGRAMMING GUIDE - Design Guide*. NVIDIA Corporation, 2015.
- [4] G. B. R. Yang, G. Welch. Real-time consensus- based scene reconstruction using commodity graphics hardware. In *Computer Graphics and Applications, 2002. Proceedings. 10th Pacific Conference*, pages 225–234, 2002.
- [5] I. D. Rosenberg, P. L. Davidson, C. M. R. Muller, and J. Y. Han. Real-time stereo vision using semi-global matching on programmable graphics hardware. In *ACM SIGGRAPH 2006 Sketches*, SIGGRAPH '06, New York, NY, USA, 2006. ACM.
- [6] O. Schreer. *Stereoanalyse und Bildsynthese*. Springer Berlin Heidelberg, 2005.
- [7] H. R. und A. Zisserman. *Multiple view geometry in computer vision*. Cambridge University Press, Cambridge, UK and New York, 2nd ed. edition, 2003.
- [8] J. Woetzel and R. Koch. Real-time multi-stereo depth estimation on gpu with approximative discontinuity handling. In *1st European Conference on Visual Media Production*, March 2004.

¹Or, better still, try to avoid footnotes altogether. To help your readers, avoid using footnotes altogether and include necessary peripheral observations in the text (within parentheses, if you prefer, as in this sentence).